

بررسی پهنهای توزیع گلوبول‌های قرمز متعاقب ایجاد تجربی آمبولی ریه در خرگوش

غلامرضا اسدنسپ^۱, شهرام دبیری اسکویی^۲

تاریخ دریافت ۱۳۹۴/۰۹/۱۴ تاریخ پذیرش ۱۳۹۴/۱۱/۱۶

چکیده

پیش‌زمینه و هدف: هدف از این مطالعه بررسی توزیع پهنهای گلوبول‌های قرمز متعاقب ایجاد تجربی آمبولی ریه در خرگوش هست. در بیماری‌ها با توجه به عملکرد نقل و انتقال اکسیژنی گلوبول‌های قرمز، بررسی وجود شکل‌های خاص به همراه پهنهای قابل عبور آن‌ها از رگ‌ها مهم می‌باشد. یکی از این بیماری‌ها، آمبولی ریه است که پهنهای توزیع گلوبول‌های قرمز در آن باستی مدنظر قرار گیرد.

مواد و روش کار: در این مطالعه ۱۲ عدد خرگوش انتخاب و در دودسته شش تابی تحت عنوان گروههای شاهد و تیمار تفکیک شدند. در گروه تیمار آمبولی ریه به طور تجربی ایجاد شد. با تزریق لخته‌های خونی مناسب هر حیوان به داخل ورید و داج سمت راست گردن، آمبولی ریوی به طور تجربی ایجاد شد. آمبولی‌های ایجاد شده توسط سینتی‌گرافی (یکی از روش‌های تصویربرداری تشخیصی کاربردی در طب هسته‌ای) تأیید گردیدند. در زمان‌های ۰، ۶۰ دقیقه، ۴۸، ۲۴ و ۷۲ ساعت بعد از تزریق لخته‌ها، نمونه خونی در گروه تیمار و شاهد تهیه و به روش استاندارد پهنهای توزیع گلوبول‌های قرمز توسط دستگاه مشخص گردید. در مطالعه حاضر بعد از استحصال تکنیسیوم-۹۹mTc از ژنراتور مولیبدن به تکنیسیوم این ماده تحت شرایط خاص به کیت دارویی MAA اضافه گشت. بعد از آماده‌سازی رادیو داروی ^{۹۹mTc}-MAA با دور ۱/۵ میلی‌کوری از راه ورید حاشیه‌ای گوش به تمامی خرگوش‌ها تزریق شد. همچین در گروه شاهد نیز یک میلی‌لیتر سرم نرمال سالین از ورید حاشیه‌ای گوش تزریق گردید.

یافته‌ها: در این مطالعه افزایشی در پهنهای توزیع گلوبول‌های قرمز طی روزهای اول تا سوم مشاهده شد ولی در روز چهارم پهنهای توزیع گلوبول‌های قرمز نزدیک به حد طبیعی گزارش گردید.

بحث و نتیجه‌گیری: به نظر می‌آید تغییرات پهنهای توزیع گلوبول‌های قرمز می‌تواند یک پاسخی برای کاستن عوارض ناشی از آمبولی ریه باشد؛ بنابراین بهتر است در بیماری آمبولی ریه پهنهای توزیع گلوبول‌های قرمز در کنار سایر اندازه‌گیری‌ها به علت عملکرد ویژه آن‌ها مشخص گردد.

کلیدواژه‌ها: آمبولی ریه، پهنهای توزیع گلوبول قرمز، سینتی‌گرافی، خرگوش

مجله پزشکی ارومیه، دوره بیست و ششم، شماره دوازدهم، ص ۱۰۱۰-۱۰۱۸، اسفند ۱۳۹۴

آدرس مکاتبه: تبریز، دانشکده دامپزشکی، واحد تبریز، دانشگاه آزاد اسلامی، تبریز، ایران، تلفن: ۰۹۱۴۴۱۲۱۱۴۵

Email: assadnassabgh@iaut.ac.ir

از این مشخصات خونی مفید در ارزیابی‌های بدن، پهنهای توزیع گلوبول‌های قرمز یا همان RDW^۱ می‌باشد (۴). پهنهای توزیع گلوبول‌های قرمز معیاری برای نشان دادن ناهمگن بودن گلوبول‌های قرمز از نظر حجمی است. افزایش غیرطبیعی پهنهای توزیع گلوبول‌های قرمز معیاری برای نشان دادن آنیزوسیستوز^۲ است. پهنهای توزیع گلوبول‌های قرمز یکدستی این سلول‌ها را از نظر اندازه بیان می‌دارد. بزرگی این عدد نشانه عدم یکدست بودن گلوبول‌های قرمز خون است و مرتبط با بعضی بیماری‌ها است. مطالعات نشان داده‌اند که پهنهای

مقدمه

بیشترین سلول‌های خونی را گلوبول‌های قرمز تشکیل می‌دهند که سلول‌هایی بدون هسته و مقرع‌الطرفین هستند. در سیتوپلاسم اسفنجی آن‌ها رنگدانه‌ای به نام هموگلوبین وجود دارد که اکسیژن را حمل می‌نمایند. غشاء پلاسمی گلوبول‌های قرمز قابل ارتجاج بوده تا این سلول‌ها بتوانند تغییر شکل و کاهش پهنا دهند تا بدین طریق از مویرگ‌های باریک عبور کنند (۳-۱). در اکثر تشخیص‌های بالینی پارامترهایی از گلوبول‌های قرمز مورد اندازه‌گیری قرار می‌گیرند. یکی

^۱ استادیار گروه علوم درمانگاهی، دانشکده دامپزشکی، واحد تبریز، دانشگاه آزاد اسلامی، تبریز، ایران (نویسنده مستنون)

^۲ استاد دانشکده پزشکی، گروه رادیولوژی - طب هسته‌ای، دانشگاه علوم پزشکی تبریز، تبریز، ایران

^۱ red blood cell distribution width

^۲ Anisocytosis

این مطالعه با همکاری دانشکده دامپزشکی دانشگاه آزاد اسلامی واحد تبریز و با مشایعت مرکز طب هسته‌ای دکتر دبیری در سال ۱۳۹۳ شمسی انجام یافت. تمامی کارهای انجام‌یافته مطابق اصول کارهای آزمایشگاهی دانشگاه فوق و رعایت ضوابط موسسه معتر National Institutes of Health Publication No. 85-23، (۱۹۸۵) صورت گرفت (۲۰).

در مطالعه حاضر ۱۲ عدد خرگوش نر سالم نژاد مخلوط بومی به طور تصادفی ساده با میانگین وزنی 5 ± 0.5 کیلوگرم انتخاب شدند. حیوانات در قفس‌های جداگانه با آب مناسب همراه با تغذیه از غذای مکمل یکنواخت در دمای محیط 22 ± 4 درجه سانتی گراد تگهداری شدند. آزمایش‌های خونی، انگلی لازم و معاینات بالینی به عمل آمد و بعد از تأیید سلامتی به آن‌ها داروی ضدانگلی ایورمکتین (Ivermectin) ساخت کارخانه رازک، ایران) با دوز 0.2 mg/kg به ازای هر کیلوگرم از راه زیر جلدی تجویز گردید (۲۱).

یک گروه شش تایی از خرگوش‌ها به عنوان گروه شاهد در نظر گرفته شد. در گروه شش تایی دیگر آمبولی ریه به طور تجربی ایجاد شد. در این گروه خون گرفته شده از هر حیوان به مدت یک ساعت در لوله آزمایشگاهی مناسب جمع‌آوری شده و بعد از تهیه لخته، تکه‌های خیلی کوچک و مناسبی به اندازه 2 mm میلی‌متر در 5 ml میلی‌متر از آن‌ها همانند روش کاربردی Cui-ping پلیت استریل به همراه سرم نرمال سالین نگهداری شد (۲۲). بعد از آمده‌سازی، لخته خونی هر حیوان داخل سرنگ به همراه یک سی‌سی از سرم نرمال سالین از طریق ورید و داج سمت راست گردن به حیوان تزریق شد. جهت تزریق بهتر موهای این ناحیه از گردن خرگوش‌ها تراشیده شد. در خرگوش‌های گروه شاهد نیز یک سی‌سی از سرم نرمال سالین از طریق ورید و داج سمت راست گردن تزریق گردید.

تصاویر به دست آمده از سینتی‌گرافی به عنوان یکی از روش‌های تصویربرداری تشخیصی کاربردی طب هسته‌ای، آمبولی‌های ایجاد شده در گروه تیمار را یک ساعت بعد از تزریق لخته‌های خون تأیید نمودند. برای اجرای عملیات سینتی‌گرافی بعد از استحصال تکنیسیوم-۹۹m از ژنراتور مولیبدن به تکنیسیوم این ماده تحت Macroaggregated albumi (MAA) اضافه گشت. بعد از آمده‌سازی رادیوداروی $^{99m}\text{Tc}-\text{MAA}$ (MAA) میلی‌کوری از راه ورید حاشیه‌ای گوش به تمامی خرگوش‌ها تزریق شد. ژنراتور و کیت بکار رفته مورد تأیید سازمان انرژی اتمی ایران بوده است. پنج دقیقه بعد از تزریق ماده رادیواکتیو یک تصویر استاتیک از ریه به روش استاندارد با تنظیم سینتیلاتور دستگاه در موقعیت مناسب گرفته شد (۲۷). متناسب با حرکت جریان خون

توزیع گلbulول‌های قرمز با بروز و تشدید برخی بیماری‌ها از جمله نارسایی قلبی و بیماری عروق کرونر و حتی آمبولی ریه ارتباط دارد (۶-۴). آمبولی ریه از بیماری‌های دستگاه تنفسی است که در این بیماری، انسداد ناگهانی عروق خون‌رسان ریه اتفاق می‌افتد. علت به وجود آورنده این انسداد معمولاً لخته خون است. آمبولی ریه می‌تواند سبب آسیب دائمی به ریهی درگیر، سطوح پایین اکسیژن در خون و آسیب به ارگان‌های مختلف بدن در اثر نرسیدن اکسیژن کافی شود. انسداد در عروق خون‌رسان ریه مانع از تبادل مناسب اکسیژن و دی‌اکسید کربن شده و سبب کاهش جریان خون به بافت ریه می‌شود. البته از سایر علل خطرساز در ایجاد آمبولی‌های ریه می‌توان به تجمع گلbulول‌های قرمز، پلاکت‌ها، حضور فیبرین و تکه‌های چربی نیز اشاره نمود (۷-۱۰). اجزای سلولی و برخی پارامترهای خونی نیز در بیماری‌های ترومبوzoی و آمبولی ریه اثر دارند (۱۱، ۱۲، ۵). به علت نقش و اهمیت گلbulول‌های قرمز مطالعات زیادی در مورد این اجزاء در بیماری‌ها و آمبولی ریه مخصوصاً به صورت توزیع پهنه‌ای آن‌ها (RDW) در انسان و کارهای تحقیقاتی صورت گرفته است. در روند این بیماری شکل، حجم و تعداد گلbulول‌های قرمز می‌تواند نقش درمانی والابی داشته باشد (۹، ۱۱-۱۳). در حیوانات نیز بیماری‌های دستگاه تنفسی قابل اهمیت می‌باشد که یکی از این بیماری‌ها، درگیری‌ها و عوارض مربوط به آمبولی‌های به وجود آمده است. تشخیص و درمان مناسب آمبولی‌های ریه به علت اهمیت فوق العاده این عضو و نقش آن در اعمال حیاتی بدن بسیار مهم می‌باشد (۴، ۶).

در کارهای تحقیقاتی مربوط به بیماری‌های ترومبوzoی از حیوانات استفاده شده است (۱۴). انتخاب مدل حیوانی مناسب در این‌گونه مطالعات و تحقیقات مهم می‌باشد که در این بررسی خرگوش به علت در دسترس بودن، امکان ایجاد آمبولی مناسب و راحتی کار حین عملیات سینتی‌گرافی انتخاب گردید.

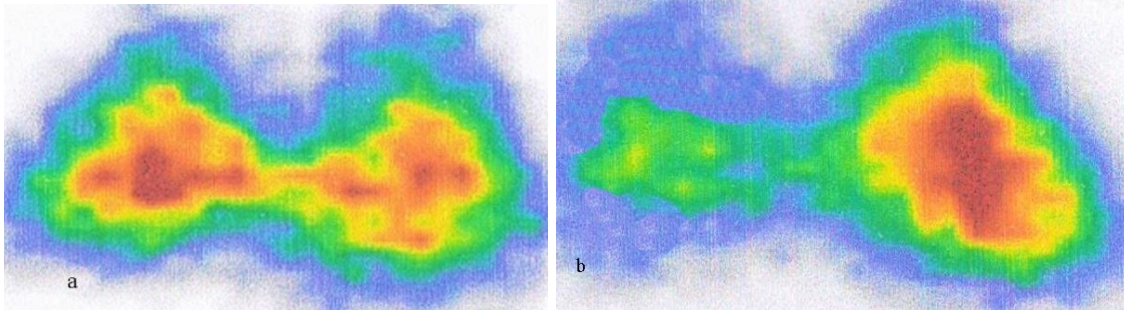
راههای متعددی برای تشخیص آمبولی‌های ایجادشده ارائه گردیده است که یکی از روش‌های نسبتاً غیرتهدیمی بهره‌گیری از فن‌های طب‌هسته‌ای می‌باشد (۱۵، ۱۶). در مطالعات تجربی متعددی از خرگوش به همین روش جهت تشخیص آمبولی ریه استفاده شده است (۱۷-۱۹).

هدف از این مطالعه بررسی تغییرات احتمالی پهنه‌ای توزیع گلbulول‌های قرمز به دنبال آمبولی تجربی ایجادشده در خرگوش طی زمان‌های خاص جهت استفاده کاربردی‌تر در کارهای درمانی و تحقیقاتی می‌باشد. همچنین اهمیت بررسی این پارامتر را در زمان‌های مختلف بعد از ایجاد آمبولی بیان می‌دارد.

مواد و روش کار

پهنه‌ای توزیع گلوبول‌های قرمز توسط دستگاه اتوماتیک (Perlone, XFA6000, مدل ۱۶۰۰۰)، ساخت کشور چین با استفاده از وسایل یکسان در تمامی نمونه‌ها انجام یافت. آزمایشات توسط یک نفر و به روش استاندارد صورت گرفت.

در سینتی‌گرافی میزان جذب رادیودارو توسط یک اندام توسط رنگ‌های تعریف شده خاصی نشان داده می‌شود. وجود رنگ نشانگر فعالیت رادیودارو در آن قسمت از بدن است. تقارن رنگ در اندام‌های قرینه مهم می‌باشد (۱۵، ۱۶). در تصاویر سینتی‌گرافی به دست آمده از حیوانات گروه شاهد جذب مواد رادیواکتیو به طور کامل در ریه هر دو سمت بدن دیده می‌شود (مشابه شکل شماره ۱-a) ولی در تصاویر سینتی‌گرافیکی خرگوش‌های بیمار یکدستی جذب از بین رفت و در ریه یک سمت میزان کمتری از تجمع مواد رادیواکتیو قابل مشاهده است که بیانگر کاستی در پروفیوژن ریوی و در نهایت نشانگر آمبولی ریه می‌باشد (شکل شماره ۱-b). مقایسه تصاویر با روش‌های متداول چشمی صورت گرفت.



شکل (۱): نمونه‌هایی از تصاویر سینتی‌گرافیکی پروفیوژن ریه در حیوانات سالم (a) و حیوانات بیمار (b)

مطالعه (شاهد و تیمار) و دیگری زمان مورد مطالعه بررسی شدند. اعداد کمتر از $P < 0.05$ مشخص و به صورت اختلاف معنی‌دار گزارش شدند.

ریه، رادیوداروی فوق در ریه جذب و قابل مشاهده می‌باشد. در بیماری آمبولی ریه به علت اختلال در خون‌رسانی قسمتی از اندام درگیر، کاستی در جذب رادیودارو اکتیویته ثانویه سرنگ (۱۵، ۱۶). جهت اطمینان از تزریق رادیودارو اکتیویته ثانویه سرنگ بکار رفته توسط همان دستگاه شمارشگر مورد سنجش قرار گرفت. در گروه شاهد نیز به خاطر یکسان بودن شرایط کاری همین عملیات سینتی‌گرافی انجام گرفت.

در این مطالعه از دستگاه گاما کمراپی Vertex مدل ADAC (کارخانه Phillips، ساخت کشور آمریکا)، دستگاه شمارشگر Capintec Capintec مدل CRC-5 (کارخانه Capintec، آمریکا) و کیت MAA (کارخانه کاوشیار، ساخت کشور ایران) استفاده شد.

در زمان‌های ۰، ۲۴، ۴۸، ۷۲ و ۹۶ ساعت بعد از تزریق لخته‌ها، نمونه خونی در گروه بیمار و شاهد تهیه و به آزمایشگاه جهت تعیین پهنه‌ای توزیع گلوبول‌های قرمز ارسال گشت.

اثر متقابل^۱ یافته‌های به دست آمده با کمک برنامه SPSS نسخه ۲۰ و نیز برنامه SAS نسخه ۹ مشخص گردید. اعداد به دست آمده به صورت یک طرح فاکتوریل با دوفاکتور یکی گروه‌های تحت

یافته‌ها

در جدول شماره ۱، توصیف آماری داده‌های به دست آمده همراه با محاسبه میانگین، انحراف معیار نشان داده می‌شود.

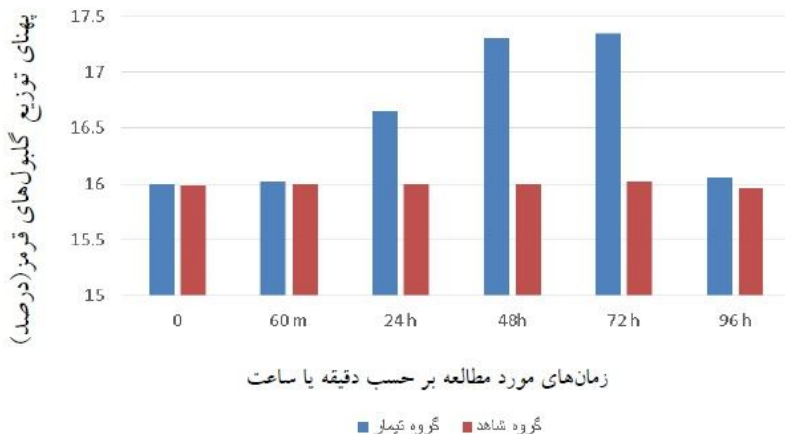
جدول (۱): توصیف آماری از پهنه‌ای توزیع گلوبول‌های قرمز گروه‌های شاهد و تیمار در زمان‌های مختلف (میانگین و انحراف معیار، بر حسب درصد)

گروه تیمار	گروه شاهد	زمان‌های مختلف اندازه‌گیری
16 ± 0.08	15.93 ± 0.07	صفر
16.01 ± 0.07	16 ± 0.14	۶۰ دقیقه
16.65 ± 0.10	16 ± 0.10	۲۴ ساعت
17.30 ± 0.10	16 ± 0.06	۴۸ ساعت
17.35 ± 0.12	16.01 ± 0.08	۷۲ ساعت
16.05 ± 0.10	15.96 ± 0.05	۹۶ ساعت

^۱ Interaction slicing

گلbul های قرمز تغییرات قابل توجهی نداشتند ولی در گروه تیمار تغییرات محسوسی در بین آنها دیده شد که این مسئله در نمودار شماره ۱، قابل مشاهده می باشد. طبق نمودار شماره ۱، بیشترین تغییر شمارش گلbul های قرمز گروه تیمار در مطالعه زمانی ۷۲ ساعته دیده می شود.

در این مطالعه میانگین و انحراف معیار پهنانی توزیع گلbul های قرمز در زمان صفر در گروه شاهد و گروه تیمار قبل از انجام عملیات سینتی گرافی به ترتیب $15/93 \pm 0/07$ و $15/93 \pm 0/08$ درصد گزارش شد که این مقادیر نزدیک به هم می باشند. طی زمان های مختلف بررسی در گروه شاهد پهنانی توزیع



نمودار (۱): اثر متقابل گروه های تحت مطالعه شاهد و تیمار در متغیر زمان بر روی پهنانی توزیع گلbul های قرمز
(ستون های سمت چپ مربوط به گروه تیمار می باشند)

(P=0/00). ولی در گروه شاهد اختلاف معنی داری بین زمان های مختلف دیده نشد (P>0/05).

در بررسی داخل گروه های بیمار بین یافته های گروه های زمانی ۲۴، ۴۸، ۷۲ ساعته با گروه زمانی صفر و ۹۶ ساعته، مقایسه داده های زمان ۶۰ دقیقه با داده های گروه های زمانی ۲۴، ۴۸ و ۷۲ ساعته و نیز بین اطلاعات گروه زمانی ۲۴ ساعته با گروه های ۴۸ و ۷۲ ساعته اختلاف معنی داری مشاهده شد (P=0/00) که این اختلافات می تواند به علت عوارض بیماری آمبولی ایجاد شده و روند آن باشد.

در این مطالعه تغییر چندانی در پهنانی توزیع گلbul های قرمز طی زمان ۶۰ دقیقه نسبت به زمان کنترل در هر دو گروه تحت مطالعه مشاهده نگردید. این مسئله می تواند در گروه شاهد به علت عدم دست کاری بر روی حیوانات تحت مطالعه و در حیوانات گروه تیمار به دلیل زمان کم بعد از ایجاد بیماری باشد. البته با استنی حجم خون گبری حین نمونه برداری در هر دو گروه کنترل و بیمار تا حد امکان کم باشد در غیر این صورت این عامل ممکن است اثرگذار باشد.

بحث و نتیجه گیری

در بیماری های ترومیوآمبولیسمی^۱ ارزیابی پهنانی توزیع گلbul های قرمز به عنوان یک عامل مهم مطرح می باشد. لذا مطالعه حاضر بر اساس نقش پهنانی توزیع گلbul های قرمز حین بیماری آمبولی ریه پایه ریزی شده و اهمیت این سلول های خونی را همانند سایر مطالعات بیان می دارد (۲۳-۲۹).

اختلاف بسیار معنی داری حین تحلیل اثر متقابل بین فاکتور زمان با فاکتور گروه های شاهد و تیمار دیده شد (P<0/001) که با توجه به معنی دار شدن اثر متقابل، برش دهی برای فاکتور زمان انجام یافت که به جز زمان های تحت مطالعه ۴۸، ۲۴ و ۷۲ ساعته در بقیه زمان های گروه شاهد و تیمار تفاوت معنی داری دیده نشد (P>0/05). در مقایسه زمان ۲۴ ساعت گروه آمبولی ایجاد شده با گروه شاهد افزایشی مشاهده گردید که این روند در زمان های ۴۸ و ۷۲ ساعته نیز دیده شد (P<0/05).

در اکثر زمان های مختلف گروه بیمار افزایش معنی داری در پهنانی توزیع گلbul های قرمز به جز داده های به دست آمده در گروه زمان های صفر و ۶۰ دقیقه، زمان های صفر و ۹۶ ساعته و همچنین بین داده های گروه زمانی ۶۰ دقیقه با ۶۰ ساعته مشاهده گردید.

¹ Thromboembolism

۱۴/۲ درصد با میانگین $1/9 \pm 1/4$ درصد (۳۴) و در کار تحقیقاتی دیگر میانگین $15/3 \pm 1/3$ درصد ارائه شده است (۳۵).

مشخص نمودن پهنه‌ای توزیع گلbul های قرمز خرگوش در این مطالعه به راحتی انجام یافته و در تمامی مراحل طبیعی، این درصد نزدیک به مقدار طبیعی بوده ولی در بیماری آمبولی ریه این درصد کمی افزایش غیر طبیعی داشته است.

در کارهای تحقیقاتی دیگر که خرگوش به عنوان مدل حیوانی مورد استفاده قرار گرفته، پهنه‌ای توزیع گلbul های قرمز مشخص شده و مطالعه اخیر نیز در همین راستا اهمیت این پارامتر را در این مدل تجربی بیان می‌دارد (۳۶، ۳۵).

با توجه به اختلافات معنی دار گزارش شده در پهنه‌ای توزیع گلbul های قرمز خرگوش های نر $16/0/9 \pm 0/55$ درصد) با حیوانات ماده ($15/5/3 \pm 0/65$ درصد) می‌توان مشابه این مطالعه را بر روی خرگوش های ماده نیز تکرار نمود (۳۳).

این مطالعه آشکار می‌سازد که پهنه‌ای توزیع گلbul های قرمز در بیماری آمبولی ریه اهمیت دارد و افزایش و در نهایت کاهش این مقدار در خرگوش های بیمار تحت شرایط خاصی و در اهمیت سیستم دفاعی و جباری بدن صورت می‌گیرد که به نوبه خود نقش والایی در روند درمانی این بیماری خواهد داشت.

به علت وجود بیماری آمبولی ریه و عوارض ناشی از آن در انسان (۳۷، ۲۸، ۵) می‌توان بررسی هایی مشابه آنچه در روش کار این تحقیق دیده می‌شود، بر پایه اثرگذاری برخی شرایط و پارامترهای دخیل (تفذیه ای، محیطی، زمانی و...) همراه با به کارگیری داروهای درمانی متفاوت بروی این حیوان تنظیم و مورد مطالعه قرار داده و با مطرح سازی روش های درمانی مناسب تر گامی در کاستن این بیماری در سطح جامعه بشری برداشته و کمک با ارزشی در این مورد ارائه نمود. همچنین می‌توان مطالعات دیگری نیز بر پایه این روش بر روی سایر پارامترهای خونی ترتیب داد.

این مطالعه کارآمدی روش انجام یافته در گزارشات Zhang Cui-ping Ji در ایجاد تجربی آمبولی را مؤثر دانسته و در حیوانات تحت مطالعه آمبولی به وجود آمده است (۱۹، ۲۲). سایر اندازه گیری های مربوط به گلbul های قرمز و پارامترهای خونی به علت اهمیت داشتن آنها در بیماری آمبولی مشخص می‌گردد که مطالعه حاضر نیز در همین راستا اهمیت بررسی گلbul های قرمز را بیان می‌دارد (۲۵، ۳۹-۴۳).

سینتی گرافی در انسان و حیوانات با کاربردهای مختلفی و از جمله تشخیص آمبولی بکار رود. مطالعه حاضر نیز همگام با سایر گزارشات استفاده از روش طب هسته ای جهت تشخیص آمبولی ریه را کاربردی بیان می‌دارد (۱۵، ۱۶، ۱۹، ۲۲).

در این بررسی مقدار پهنه‌ای توزیع گلbul های قرمز حیوانات بیمار از گروه زمانی ۲۴ ساعته تا گروه زمانی ۷۲ ساعته افزایشی را نشان داد که با یافته های دیگران که افزایش پهنه‌ای توزیع گلbul های قرمز در آمبولی ریه را مطرح کردند، همخوانی دارد (۹، ۳۰، ۳۱). شاید علت افزایش فوق این باشد که انسداد و کاهش جریان خون در بیماری آمبولی مقدار خون رسانی کم می شود درنتیجه با استی پهنه‌ای توزیع گلbul های قرمز تغییر یابد تا مقدار خون رسانی و تبادل اکسیژن کافی از ریه ها بیشتر صورت گیرد یعنی سیستم بدنی می خواهد با تغییر در قطر گلbul های قرمز نقص اکسیژن رسانی را جبران کند. یکی از علل دیگر این تغییر ممکن است به خاطر جبران زمانی باشد چرا که در این بیماری زمان عبور گلbul های قرمز برای اشباع از اکسیژن به کمترین زمان می رسد (۳۲).

در بررسی گروه زمانی ۹۶ ساعته مقدار پهنه‌ای توزیع گلbul های قرمز کاهشی تا اندازه گروه شاهد داشته است که از عل این شرایط می توان به پاسخ بدن به کمبود اکسیژن رسانی مثلاً محدود کردن نیاز سایر اندامها به اکسیژن اشاره نمود که این شرایط در درمان آمبولی حائز اهمیت می باشد. یکی از نکات قوت مطالعه حاضر این برگشت به حد طبیعی پهنه‌ای توزیع گلbul های قرمز در حیوانات گروه زمانی ۹۶ ساعته می باشد که شاید یکی از عل این واقعه مربوط به گونه حیوانی خرگوش تحت مطالعه باشد. البته نیاز به کنکاش بیشتری در این مورد می باشد.

با توجه به تغییرات فیزیولوژیکی ناشی از انسداد رگی توسط لخته ها در آمبولی ریه، سطح اکسیژن در خون پایین آمده و نیاز به تبادل بیشتر اکسیژن و دی اکسید کربن محسوس تر می گردد که مطالعه فوق افزایش پهنه‌ای توزیع گلbul های قرمز را یکی از راه های دستیابی به این تبادل طی سه روز بعد ایجاد آمبولی بیان می دارد، که با گزارش های دیگران در این زمینه همخوانی دارد (۸، ۹، ۲۲، ۳۰، ۳۱).

به نظر می آید استفاده از رادیو داروی بکار رفته در این آزمایش که مخصوص تصویر برداری تشخیصی طب هسته ای است، تغییرات فاحشی بر روی پهنه‌ای توزیع گلbul های قرمز در گروه شاهد ایجاد نکرده و مقدار آن در حد طبیعی بوده و مطالعه به راحتی در گروه های تحت مطالعه شاهد و تیمار انجام یافته است (۱۵، ۱۶).

البته برای تأیید بیشتر این فرضیه نیاز است که مطالعات جدیدتری بر اساس الگوهای دیگری نیز در این زمینه تدارک دیده شود. اندازه طبیعی پهنه‌ای توزیع گلbul های قرمز در خرگوش نر $17/2 - 15/3$ درصد و $14 - 16/4$ درصد در حیوان ماده (۳۳) و قطر این سلول ها $7/8 - 5$ میکرومتر ذکر شده است (۱، ۶). در گزارش دیگری پهنه‌ای طبیعی توزیع گلbul های قرمز خرگوش ما بین $16/2 - 16/4$

گلbul‌های قرمز طی زمان‌های خاص مشخص و در صورت بروز نقصی در آن سریعاً نسبت به درمان مناسب‌تر اقدام نمود.

تشکر و قدردانی

این مقاله با همکاری معاونت محترم پژوهشی دانشگاه آزاد اسلامی واحد تبریز با همکاری صمیمانه مرکز طب هسته‌ای دکتر دبیری انجام یافته است که از زحمات بی‌دربیغ آن‌ها کمال تشکر را مینماید.

در این مطالعه گروه شاهد نیز یک دوز مشابه‌ای از رادیودارو را دریافت نموده است تا شرایط یکسانی در مطالعه وجود داشته باشد؛ بنابراین در پایه‌ریزی مطالعات آتی بایستی شرایط محیطی کاملاً یکسانی در نظر گرفته شود چراکه برخی پارامترها ممکن است روی اجزای سلولی اثر داشته باشند علاوه به راین بایستی استرس وارد به این حیوانات در حداقل باشد (۱، ۴).

در نهایت به نظر می‌آید در بیماری آمبولی ریه تغییرات پهنه‌ای توزیع گلbul‌های قرمز نقش مهمی در کاهش عوارض ناشی از این بیماری می‌تواند ایفا نماید و بهتر است در این بیماری پهنه‌ای توزیع

References:

1. Suckow MA, Stevens KA, Wilson RP. The Laboratory Rabbit, Guinea Pig, Hamster, and Other Rodents. London: Academic Press; 2012. P.101-9.
2. Thrall MA, Weiser G, Allison R, Campbell TW. Veterinary Hematology and Clinical Chemistry. 2th ed. Toronto: John Wiley & Sons; 2012. P.40-59.
3. Weiss DJ, Wardrop KJ. Schalm's Veterinary Hematology. Oxford: Willy Blackwell publishing Ltd; 2010. P.886-96.
4. Ettinger A, Feldman EC. Textbook of Veterinary Internal Medicine. 7th ed. London: W.B. Saunders; 2009. P.135-180, 210-222.
5. Acton QA. Pulmonary Embolism: New Insights for the Healthcare Professional. Georgia: Scholarly Editions; 2013. P.10-39.
6. Varga M. Textbook of Rabbit Medicine. 2th ed. London: Butterworth-Heinemann; 2013. P.105-21.
7. Burnett N, Mathura K, Metivier KS, Holder RB, Brown G, Campbell M. An investigation into haematological and serum chemistry parameters of rabbits in Trinidad. World Rabbit Science 2006; 14: 175 –87.
8. Goldhaber SZ. Acute pulmonary embolism: risk stratification. Journal of Pathophysiology of Hemostasis and Thrombosis 2006; 35: 153-6.
9. Hume M, Sevitt S, Thomas DP. Venous Thrombosis and Pulmonary Embolism. London: Harvard University Press; 1970. P.210-75.
10. Sobieszczyk P, Fishbein MC, Goldhaber SZ. Acute Pulmonary Embolism, Don't Ignore the Platelet. Circulation 2002; 106:1748-9.
11. Vaya A, Suescun M. Hemorheological parameters as independent predictors of venous thromboembolism. Clin Hemorheol Microcirculation 2013; 53(1-2):131–41.
12. Whelihan MF, Zachary V, Orfeo T, Mann KG. Prothrombin activation in blood coagulation: the erythrocyte contribution to thrombin generation. Blood 2012; 120(18):3837–45.
13. Zorlu A, Bektasoglu G, Guven FM, Dogan OT, Gucuk E, Ege MR et al. Usefulness of admission red cell distribution width as a predictor of early mortality in patients with acute pulmonary embolism. Am J Cardiol 2012; 109(1):128–34.
14. Day HJ. Thrombosis: Animal and Clinical Models. New York: Springer; 2013. P.25-48.
15. Henkink R, Boles M, Dillehay G. Nuclear Medicine. St Louis: Mosby – year book; 1996. P.114-80.
16. Mettler FA, Guiberteau MJ. Essentials of Nuclear Medicine Imaging. 6th ed. Philadelphia: Elsevier/Saunders; 2010. P.188-231.
17. Assadnassab G. Effect of Garlic on Perfusion Scintigraphy of Rabbit's Lungs Following Experimentally-Induced Pulmonary Embolism. Tropical J Pharmaceutical Res 2015; 14(5): 783-7.
18. Yang G, Yang X, Zhang L, Zhu H, Chai X, Hu X et al. Pulmonary enhancement imaging with dual

- energy CT for the detection of pulmonary embolism in a rabbit model: comparison to perfusion planar scintigraphy, SPECT and SPECT-CT modalities. Academic Radiol 2011; 18(5): 605-14.
19. Zhang L, Chai X, Wu S, Zhao Y, Hu X, Hu Y et al. Detection of pulmonary embolism by dual energy CT: correlation with perfusion scintigraphy and histopathological findings in rabbits. Eur Radiol 2009; 19(12): 2844-54.
20. Guide for the Care and Use of Laboratory Animals. Washington, DC: Government, Printing Office 1985; NIH publication 85-23, 1995.
21. Plumb DC. Plumb's Veterinary Drug Handbook. 4th ed. Iowa: Iowa State Press; 2005. P.450-80.
22. Cui-ping LV, Yang H, Dong X. Establishment of rabbit's acute pulmonary thromboembolism model and measurement of right ventricle tension and electrocardiogram. Chinese J Comparative Med 2009; 11(83): 27-30.
23. Goldhaber SZ, Bounameaux H. Pulmonary embolism and deep vein thrombosis. Lancet 2012; 37(9828):1835-46.
24. Pazarli AC, Bekar L. Clinical utility of red blood cell distribution width parameter in patients with hemodynamically stable acute pulmonary embolism. Eurasian J Pulmonol 2014; 16: 27-30.
25. Rezende SM, Lijfering WM, Rosendaal FR, Cannegieter CS. Hematologic variables and venous thrombosis: red cell distribution width and blood monocyte count are associated with an increased risk. Haematologica 2014; 14(99): 194-200.
26. Sen HS, Abakay O, Tanrikulu AC, Sezgi C, Taylan M, Abakay A et al. Is a complete blood cell count useful in determining the prognosis of pulmonary embolism? Wien Klin Wochenschrz 2014; 126(11-12): 347-54.
27. Bucciarelli P, Maino A, Felicetta I, Abbattista M, Passamonti SM, Artoni A et al. Association between red cell distribution width and risk of venous thromboembolism. Thrombosis Res 2015; 136(3): 590-4.
28. Abul Y, Ozsu S, Korkmaz A, Bulbul Y, Orem A, Ozlu T. Red cell distribution width: a new predictor for chronic thromboembolic pulmonary hypertension after pulmonary embolism. Chronic Respiratory Disease 2014; 11(2): 73-81.
29. Zöller B, Melander O, Svensson P, Engström G. Red cell distribution width and risk for venous thromboembolism: a population-based cohort study. Thrombosis Res 2014; 133(3): 334-9.
30. Hampole CV, Mehrotra AK, Thenappan T, Gomberg-Maitland M, Shah SJ. Usefulness of Red Cell Distribution Width as a Prognostic Marker in Pulmonary Hypertension. Am J Cardiol 2009; 104(6): 868-72.
31. Jardins TD, Burt GG. Clinical Manifestations and Assessment of Respiratory Disease. 7th ed. London: Elsevier Health Sciences; 2015. P.98-116.
32. Burrowes KS, Clark AR, Tawhai MH. Blood flow redistribution and ventilation-perfusion mismatch during embolic pulmonary arterial occlusion. Pulmonary Circulation 2011; 1(3):365-76.
33. Poljičak-Milas N, Kardum-Skelin I, Vuđan M, Silvija Marenjak T, Ballarin-Perharić Alenka A, Milas Z. Blood cell count analyses and erythrocyte morphometry in New Zealand white rabbits. Veterinarski Arhiv 2009; 79 (6):561-71.
34. Hewitt CD, Innes DJ, Savory J, Wills MR. Normal Biochemical and Hematological Values in New Zealand White Rabbits. Clinical Chemistry 1989; 35(8): 1777-9.
35. AL-Nakeeb NKM. The pathogenesis of experimental infection by *Staphylococcus aureus* in rabbits. Kufa J Veterinary Med Sci 2011; 2(2): 127-40.
36. Koffuor GA, Dadzeasah PE Sam GH. Haematopoietic effect of an ethanolic leaf extract of *Ipomoea involucrata* P. Beauvois in phlebotomized

- New Zealand White Rabbits. *J Med Biomed Sci* 2012; 1(2): 10-6.
37. Ozsu S, Abul Y, Gunaydin S, Orem A, Ozlu T. Prognostic value of red cell distribution width in patients with pulmonary embolism. *Clin Appl Thrombosis/ Hemostasis* 2014; 20(4): 365-70.
38. Ji Y, Gao H, Zhang Z. Exploration of Rabbit Model of Pulmonary Embolism with Autologous Blood Clots. *Laboratory Animal Sci Admin* 2001; 4: 1-4.
39. Balta S, Karademir I, Demir M, Ozturk C, Celik T, Demirkol S. Red cell distribution width in pulmonary embolism. *Wiener klinische Wochenschrift* 2014; 126(17-18):553-4.
40. Barbui T, Carobbio A, Rambaldi A, Finazzi G. Perspectives on thrombosis in essential thrombocythemia and polycythemia vera: is leukocytosis a causative factor? *Blood* 2009; 114(4):759-63.
41. Celik A, Ozcan IT, Gundes A, Topuz M, Pektas I, Yesil E et al. Usefulness of admission hematologic parameters as diagnostic tools in acute pulmonary embolism. *Kaohsiung J Med Sci* 2015; 31(3):145-9.
42. Kucuk MP, Oztuna F, Yasin Abul Y, Ozsu S, Ozlu T. Prognostic Role of Red Cell Distribution Width (RDW) At Pulmonary Embolism (PTE). *Acute Pulmonary Embolism* 2015; A4880.
43. Samama S. Pulmonary Embolism: Controversies in Laboratory Studies. *J Pathophysiol Hemostasis Thrombosis* 2006; 35:157-61.

SURVEY OF RED BLOOD CELL DISTRIBUTION WIDTH AFTER EXPERIMENTALLY INDUCED PULMONARY EMBOLISM IN RABBIT

Gholamreza Assadnassab^{1}, Shahram Dabirie Oskoie²*

Received: 5 Dec , 2015; Accepted: 5 Feb , 2016

Abstract

Background & Aims: The purpose of this study was to survey red blood cell distribution width after experimentally induced pulmonary embolism in rabbit. Due to oxygen transfer performance of red blood cells, the survey of their special forms and passable widths through the vessels in many diseases is vital. One of these diseases is pulmonary embolism in which red blood cell distribution width should be considered.

Materials & Methods: Twelve adult rabbits were selected and divided into two treatment and control groups with six rabbits in each. In treatment group, pulmonary embolism was experimentally induced by injection of autologous blood clots through right jugular vein. Pulmonary embolisms were confirmed by scintigraphy operations. At 0, 60 minutes, 24, 48, 72 and 96 hours after induced pulmonary embolism, blood samples were prepared by standard methods in groups and the red blood cell distribution width were measured. The technetium was milked from molybdenum- technetium generator and then added to macroaggregated albumin (MAA) kit. In all rabbits, 1.5 mCi of prepared ^{99m}TC-MAA was injected into the marginal ear vein. In control group, 1 ml of normal saline was injected via the margin ear vein.

Results: In this study, increases of red blood cell distribution widths were observed in the first to third days but these widths returned to normal statue in the fourth day.

Conclusion: It seems that red blood cell distribution width changes could be a response to the reduce complications of pulmonary embolism. Therefore it is better to determine red blood cell distribution width in pulmonary embolism along with other measurements due to their specific function.

Keywords: Pulmonary embolism, Rabbit, Red blood cell distribution width, Scintigraphy

Address: Faculty of Veterinary Medicine, Tabriz Branch, Islamic Azad University, Tabriz, Iran

Tel : +989144121145

Email: assadnassabgh@iaut.ac.ir

SOURCE: URMIA MED J 2016: 26(12): 1018 ISSN: 1027-3727

¹ Assistant Professor, Department of Clinical Science, Tabriz Branch, Islamic Azad University, Tabriz, Iran
(Corresponding Author)

² Professor, Department of Nuclear Medicine , Faculty of Medicine, Tabriz University of Medical Sciences, Tabriz, Iran